法在以调制副载波测相系统作基本系统时,在 三个相邻最小点上测已知相移的 误差 不超过 士1°,测试重复性也在士1°内,对模拟的各种 相位变化测试误差也在士1°内。为了进一步提 高测相精度和用到更高的频段,在图 1 (或 2) 的基础上改用"Y"型开关转接信号(图 4), 因为"Y"型开关本身在转接中相位重复性好, 这样不仅提高了测试精度,而且加快了测试速 度,更体现出"双(四)电缆"测相法的优越 性。

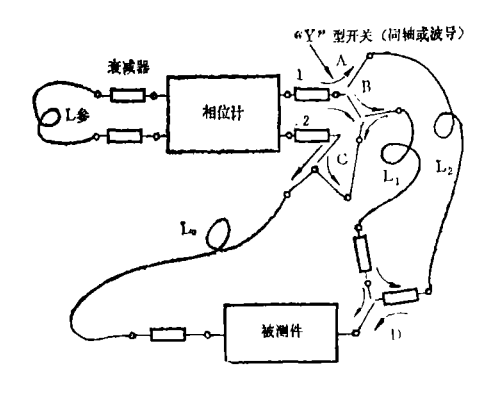


图 4 配有"Y"型开关的"双电缆测相法"

# 毫微秒脉冲信号发生器

傅玉珊

## 摘要

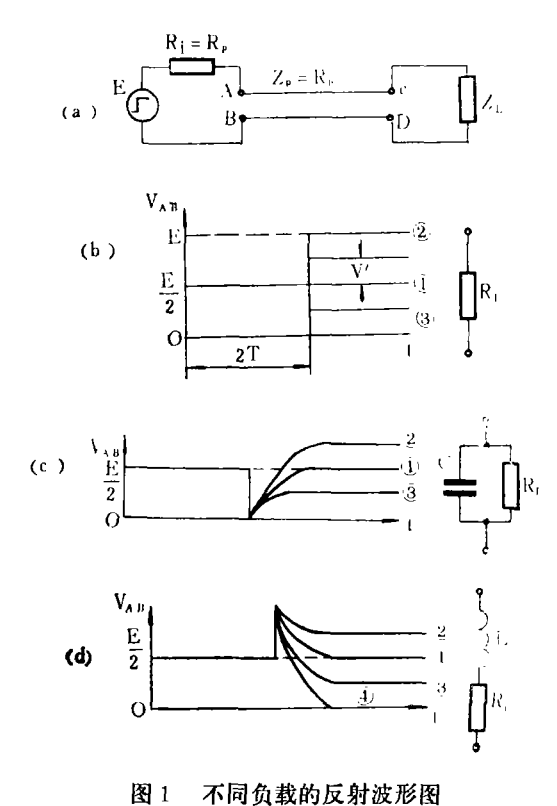
首先叙述高速脉冲信号发生器在电子测量技术中的应用,介绍了产生毫微秒脉冲的常见的几种方法 及其优缺点,讨论了采用电流开关、隧道二极管、阶跃恢复二极管的三种电路,最后讨论了在用阶跃整 形方法产生毫微秒脉冲时改善波形的措施及有关的工艺问题。

## 一、用 途

高速毫微秒脉冲信号发生器在现代电子测量技术中有着极其广泛的用途,其应用范围大致可以分以下几个方面:

#### 1. 用在时域反射测量技术中

就象借助于雷达的回波可以确定被测目标的各种参数一样,时域反射技术可以由反射波形给我们提供有关传输线终端负载的信息。我们知道,当一个幅度为 E、内阻为  $R_i$  的阶跃信号接到特性阻抗  $Z_p=R_p$  的传输线上时(见图1a),终端负载  $Z_L$  不同,传输线终端的波形和始端的反射波形也将有很大的差别。图1b 画出了纯阻负载时 AB 两端的波形,波形①表示  $R_L=R_p$  的匹配情况,终端不发生反射,②表示终端开路, $R_L=\infty$ ,发生电压全反射。③表示终端短路,  $R_L=0$ ,发生电流全反射。设



反射电压的幅度为V',它与入射电压幅度 $\frac{E}{2}$ 

之比 $V'/\frac{E}{2}$ 称为终端负**载的**反射**系数**,用 $\rho$ 表示,可以推导出:

$$R_{L} = R_{P} \frac{1 + \rho}{1 - \rho} \tag{1-1}$$

根据反射系数,可以定量计算出 R<sub>1</sub> 的大小。 ρ在曲线①②之间取正值,在①③之间取负 值。图中T是电磁波从始端传输到终端所需要 的时间,如电磁波的传播速度为 v,则可知传 输线的长度 L=v·T。图1c 表示终端负载为电 容 C 与电阻  $R_L$  并联的情况,①表示  $R_L = R_P$ , ②表示  $R_L > R_P$ , ③表示  $R_L < R_P$ 。  $R_L$  的数值 可以由波形稳定以后反射系数 P 的大小计算出 来,根据曲线的时间常数,还可以算出电容C 的数值。图 1d 表示终端负载为L和 Rr 串联 的情况, ①表示  $R_L = R_P$ , ②表 示  $R_L > R_P$ , ③表示  $R_L < R_P$ , ④表示  $R_L = 0$ , 由  $\rho$  及时间 常数也可计算出 Rr. 及L的数值。读者不难依 此类推, 画出 RC 串联、RL 并联等其他负载 时 AB 两端的反射波形, 推导计算 R<sub>1</sub>, C, L 的相应公式。

在一般情况下,当然不会采用这种方法去 测量R, L, C的数值。如果测量对象是一些 分布参数构成的系统, 就必须采 用 这 种 方法 了。如可以根据时域反射波形图计算出广播电 视天线或雷达天线的各种参数,并且调整其结 构使其性能大大提高。大家知道, 宽带示波器 的输入装置对整个仪器的性能影响极大,由于 采用了各种高频转换插头座、微带线、衰减器 等,对于输入同轴电缆可能造成失配,而这种 失配用一般测量方法是难以发现的。时域反射 技术就给我们提供了一种有力的检查手段,根 据反射波形图就可很容易地确定失配性质,找 出解决办法。比如我们对仪器输入同轴电缆系 统进行时域反射测量得到如图 2 所示的反射波 形图,我们就可以肯定在长度为 L=VT 的电 缆线后面某部件呈现出容性阻抗,且其电阻分 量小于电缆的特性阻抗, 再经过 L。=VT。一段



图 2 某系统的时域反射波形

距离后,又接入了一电感性阻抗,且其电阻分量大于 R<sub>P</sub>。 我们可以通过改换高频插头座,修改微带线宽度等,使输入系统达到理想的匹配状态。

任何实际的 R、L、C元件都有分布参数,我们希望它们越小越好,比如传送或旁路高频信号的电容器,我们总是希望它的极板电感和引线电感越小越好,而这个分布电感用一般方法是测量不出来的。用时域反射技术就可以从不同材料、结构、型号的电容中挑选分布电感小的使用。在通信和电力网络中,用此原理可以寻找地下电缆的故障,根据反射波形不但可以确定电缆故障的种类(短路、开路、绝缘层破坏等),而且可以准确测定故障点的位置。

可见,时域反射技术在电子设备以及各种分布参数系统的检查、测量、维护、调整时有重要的实用价值。要进行时域反射测量,就必须有高速脉冲信号源和一显示设备(一般是宽带取样示波器),而且脉冲源的前沿对测量精度有决定性的影响。电感和电容完全是在阶跃信号陡峭前沿的冲击下,才具备突变特性。如脉冲前沿是缓慢变化的,线路上电感和电容的突跳特性变坏(图3a实线),就不能准确测量它们的值,一些小的分布电感和电容可能根本测不出来(图3b)。

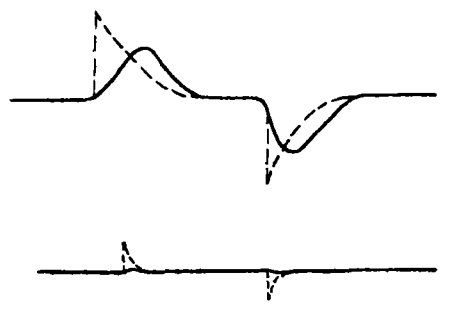


图 3 慢脉冲冲击下反射波形图 (实线)

#### 2. 测量有源及无源网络的瞬态特性

高速脉冲源还常用于测量高速高频元器件的瞬态特性及有源和无源网络的频率特性,如用于测量晶体开关管的开关时间,集成电路的平均传输时间等,这些已为大家熟知,在此不再赞述。假如我们考虑的有源网络是一宽带放大器,放大器的通带宽度为 f。, 当输入理想的阶跃脉冲时, 其输出脉冲上升前沿为t., 我们称此 t. 为放大器的固有上升时间,可以推导出(见附录 1);

$$f_{\circ} \cdot t_{r} = 0.35$$
 (1-2)

有时直接测量 f。比较麻烦,我们往往通过测量其阶跃响应,先求出tr,然后再估算出f。。这种方法在测量宽带放大器和各种示波器带宽时应用得非常普遍。也常用这种方法测量同轴电缆的瞬态特性,由此估算其适用的频带。这些测量显然都需要前沿极快的脉冲源。

#### 3. 测量高速设备的动态特性

在高速下工作的电子设备如数字频率计、数字计时器、数字通讯设备,各种部件如运算器、存储器,以及各种电路如双稳态或单稳态触发器、斯密特触发器、电压比较器等等,都要考核它们的动态特性,如触发延迟、时间分辨率、灵敏度、最高工作频率等。这都要用到前沿陡峭、幅度、重复频率及脉冲宽度可调的各类毫微秒脉冲信号发生器。

#### 4. 其它电量及非电量测量

半导体材料少数载流子寿命以及一些电介 质和磁介质的测量,都离不开高速脉冲源。

## 二、构 成 方 法

一般的脉冲信号发生器的方框图如图 4 所示。制作一台完整的脉冲信号源,必须对其重



图 4 脉冲信号发生器原理方框图

复频率、延迟、主脉冲宽度、前沿、过冲、幅 度、输出阻抗等各方面提出具体要求,由此来 决定各部分分别采取什么电路。设计制造脉冲源涉及到的技术上和工艺上的问题是很多的,如振荡频率的稳定性、延迟时间和脉冲宽度的稳定性,输出幅度的精确度等等。在本文中我们不能对这些问题逐一进行分析,而只是围绕如何得到毫微秒数量级的快速前沿以及如何消除顶部振荡问题进行较详细的讨论。由于半导体器件的大量使用,下面除只列举了一种机电式脉冲发生器外,对于火花放电型及电子管型高速脉冲发生器,一律不去讨论。

#### 1. 传输线放电型(水银开关型)

这是一种经典的产生毫微秒脉冲的方法,原理图见图5a。 E 是稳定的可调的直流电源,R 是充电电阻,传输线的特性阻抗为  $R_P$ ,  $R_N$   $R_P$ ,  $R_L$  是负载电阻,  $R_L = R_P$ 。 在开关 K 断开时,电源 E 通过 R 使传输线(通常是同轴电缆)充电至 E (图5b), 当 K 闭合 时,由 于  $R_L = R_P$ , E 被分压,  $R_L$  上 的 电 压 上升到

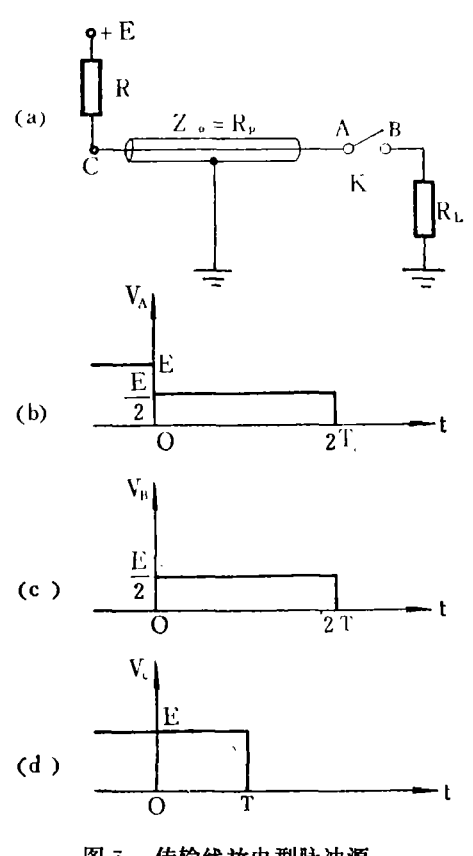


图 5 传输线放电型脉冲源

 $\frac{E}{2}$ 。对于同轴电缆,这相当于在右端加上一

个负的幅度为 $-\frac{E}{2}$ 的阶跃电压,该电压向左传 播, 到达 C 点时, 由于 R≫Rp, 相 当 于终端 开路, 电压发生全反射 (参见图1b), C 点 电 位突变到零(图5d)。反射波返回电缆右端, 使 R<sub>L</sub> 上的电压也降到零,在 R<sub>L</sub>上就得到宽 度为 2T、幅度为 $\frac{E}{2}$ 的矩形脉冲了(图5c)。

这种类型的脉冲发生器其前沿快慢主要决 定于开关 K。为防止触点回跳产生多次脉冲, 往往使用水银继电器, 并把它装置在同轴结构 中以提高其速度性能。这类脉冲源线路简单, 输出幅度范围大, 使用优质水银开关, 可以得 到小于1nS的前沿。但是它毕竟是一种机电式 设备, 水银继电器不仅寿命短、使用不方便, 而且由于其机械惰性, 重复频率只能从几十赫 芝到几百赫芝范围变化, 对于需要高重复频率 的场合,这是远远不能满足要求的。

#### 2. 饱和开关型(过激励型)

晶体管共发射极放大倍数可表示为:

$$\beta(\omega) = \beta_0/1 + j \frac{\omega}{\omega_s}$$
 (2-1)

式中  $\omega_a$  为共发射极截止角频率,  $\omega$  是 使用 频率。该式与附录 1 中 RC 网络 的频率响应 相同, 因此其时间响应也应与 RC 网络相同。 设输入是阶跃电流 I。(见图 6b),则其集电极 电流应为:

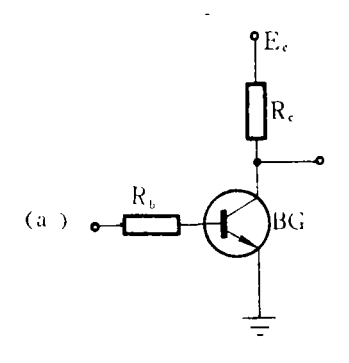
$$I_c = \beta_0 I_b (1 - e^{-\omega \beta t}) = \beta_0 I_b (1 - e^{-\frac{t}{\tau \beta}})$$
(2-2)

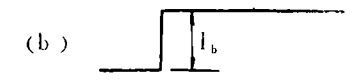
式中 $\tau_{\beta} = \frac{1}{\alpha \theta}$ 、称为共发射极时间常数。I。的 波形见图5c。集电极电流最后应达到 I<sub>λ</sub>β。 其 前沿 t; 为 2.27g。但是在图 6a 饱和开关电 路中, Ι,β。是不可能达到的, 其最大集电极饱 和电流为:

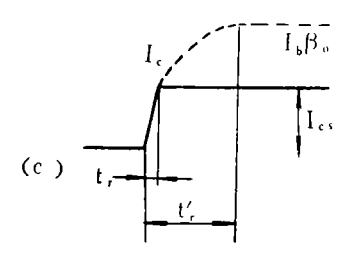
$$I_{cs} = \frac{E_c - V_{ces}}{R_c} \approx \frac{E_c}{R_c}$$
 (2-3)

设 I。达到此值需要的时间为 t., 由(2-2)可

推导出:







过激励电路及波形

$$t_{r} \approx \tau_{\beta} \cdot \ln \frac{\beta_{0} I_{b}}{\beta_{0} I_{b} - I_{o}}$$
 (2-4)

令 $\frac{\beta_0 I_b}{I_{ca}} = N$ ,它表示实际加到晶体管基极上的

电流与刚刚使晶体管饱和时的基极电流 I... 之 比, 称为过激励系数, (2-4)式变为,

$$t_r \approx \tau_{\beta} \ln \frac{N}{N-1} \tag{2-5}$$

如取 N=5, 则  $t_r \approx 0.22 \tau_{\beta}$ 。 假如采 用  $f_{\alpha} =$ 500M的晶体管,  $\beta_0 = 50$ ,  $f_{\beta} \approx f_{\alpha}/\beta_0 = 10M$ ,

$$\tau_{\beta} = \frac{1}{22f_{\beta}} \approx 16 \text{ns}, \quad \stackrel{\text{def}}{=} \text{N} = 5 \text{H}, \quad t_{r} \approx 3.5 \text{ns}$$

在这种方法中,为了得到陡峭的前沿,往 往要加大过激励系数N,但N越大,管子饱和 越深,其存贮时间随之增加,脉冲 后 沿 变 坏 了。而且在 N > 4 时,增加 N 对提高 t. 已不 太显著,所以它只能在一些简单的脉冲源中使 用。

#### 3. 雪崩晶体管型

工作原理见图 7。无输入时,晶体管基极加有负偏压,所以集电极电源虽高,仍不能使管子 c、e 之间击穿。输入正触发脉冲时,be结正偏,管子迅速击穿,到达雪崩区,同时从集电极输出一个陡峭的尖脉冲。

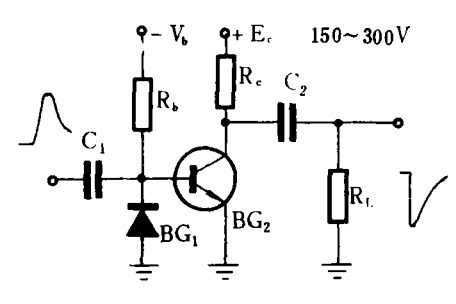


图 7 雪崩晶体管脉冲源

由于晶体管的  $V_{bo}$ 、 $V_{co}$  都是随温度变化的,所以该电路稳定性较差,工作频率也不能很高。由于必须用电容隔断 $E_{c}$  对下级的影响,它不能输出规则的方脉冲,我 们 不 予 详细研究。

#### 4. 电流开关型

图 8 是电流开关型电路。BG,基极接地电位(或根据需要接一固定参考电位),当 BG,基极输入 -0.8 V 的电压时, BG,导通, e 点的电位约为 -0.8 V,  $V_{be1}=0$ , BG,截止, 定电流  $I_0$  全部流过  $BG_{20}$  当输入电压跳变到 +0.8 V 时, BG,导通, e 点电位约为零伏,  $V_{be2}=0$ , BG,截止,  $I_0$  全部流过  $BG_{10}$  这样,根据输入电位的不同,  $I_0$  或者全部流过  $BG_{20}$ ,或者全部流过  $BG_{10}$ ,  $BG_{11}$ ,  $BG_{12}$ ,  $BG_{22}$ , 的 作用类似于

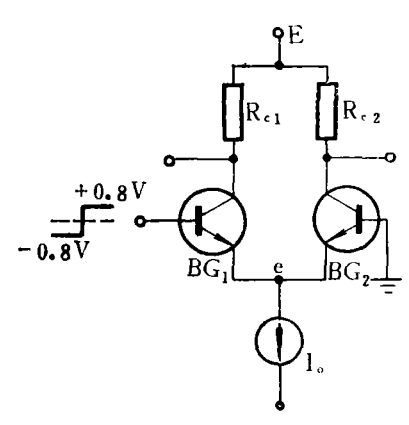


图 8 电流开关电路

一个开关,这就是"电流开关电路"名称的由来。

电流开关电路为什么可以提高速度呢? 让 我们仔细分析一下在饱和开关电路中影响和限 制速度进一步提高的因素是什么,而电流开关 电路又是如何解决这些问题的。首先,饱和开 关工作在饱和状态, 在第二节我们已经谈到, 饱和程度越深, 其存贮时间就越大, 在输入脉 冲结束后晶体管要退出饱和的时间就越长,这 就使整个工作速度降低。而电流开关电路通过 适当选择元件数值、让管子导通时其集电极电 压 $V_s = E_s - I_s R_s > V_s$ , 它们就永远不会处在饱 和状态。第二当晶体管接法不同时具有不同的 速度性能, 在共发射极接法时, 频率特性最 差,速度最慢。而在电流开关电路中,BG,是 共基极接法, BG, 由于其 Rc 较小, I。是定流 源,等效电阻很大,属于共集电极接法,而这 两种接法都有利于充分发挥管子本身的频率特 性,速度要比饱和开关电路快许多。第三是集 电极时间常数的影响。由于管子集电极对地之 间存在分布电容 C。, 当集电极电流突 变 到 零 时,分布电容上的电荷要通过 R。放掉,集电 极电压才能发生变化。要减小这一影响, 除尽 量减小分布电容 C。外,再一个措施就是减小 R。,而在电流开关电路中,R。都是比较小的。 第四个因素是输入脉冲幅度的大小。在饱和开 关中为了工作可靠, 无输入时 V, 之间都加一 负偏压 - V<sub>b</sub>, 有输入时基极电压上升到 + V<sub>b</sub>, ≈0.8V, 基极电压 跳 变 幅 度为 ΔV<sub>be</sub>=V<sub>b</sub>+ Vbes, 晶体管基极一发射极电路存在着杂散电 容,晶体管 B、e 结也有渡越电容,输入电流 要对这些电容充电,才能使 B、e 结电压发生 跳变,而 AV<sub>16</sub> 越大,需要充电的时间也越 长。在电流开关电路中,BG、由截止到导通其 V<sub>b</sub>。只变化了 0.8 V, BG, 的基极对地电位也 只变化了2×0.8V, 这就缩短了基极电流给杂 散电容充电的时间, 提高了速度。

在作脉冲信号发生器时,电流开关是作整形器和功率输出级用的。有时单个管子不能满足输出功率的要求,BG<sub>1</sub>、BG<sub>2</sub> 就各用几只同

型号的管子并联使用。这种类型的脉冲源重复 频率高,工作稳定可靠,而且可以有反相、倒置等各种输出,脉冲前沿要达到 5ns 并不十分困难。目前国内水平:使用几只并联的  $f_{\rm T} > 1000 {\rm MHz}$  的晶体管,可以在 $50 \Omega$  输出负 载上得到幅度10 V、前沿约 1ns 的脉冲信号。它的 缺点是:由于它是在定电流情况下工作的,负 载电阻的任何微小的变化都会影响到幅度的变化,因此只适于作高阻抗输出,不宜作功率输出。

#### 5. 隧道二极管型

图 9a 是由隧道二极管构成的开关电路。 根据负载电阻 R<sub>1</sub>//R<sub>2</sub> 以 及隧道管静态工作点 的不同,它可以工作在自激状态或触发状态。 当工作在触发状态时,它可以接成单稳态或双 稳态。用它来作快前沿脉冲源时,一般是使其 工作在触发状态。我们主要研究其触发瞬变性 能。

图 9b 是 a 的等效电路,其中  $I_Q$  是给隧道管 TD 提供工作点电流的, $C_S$  是 结电容及外电路分布电容的总和,LR 支路的时间常数与隧道二极管跳变时间相比相当大,故在瞬态分析中可认为开路。设静态工作点为Q (见图 10a),输入线变电流  $I_{in}=Kt-K\cdot(t-t_o)$ ,该电流叠加在  $I_Q$  上,只有当  $I_{in} > I_P-I_Q$ 时,隧道二极管才能被触发,其工作点由 Q 到达峰点 P ,然后发生电压跳变,最后到达 P 点(图 P 10a)。设隧道管两端的电 压为 P ,通过的电流为 P ,由等效电路图 P ,不考虑 P 、及

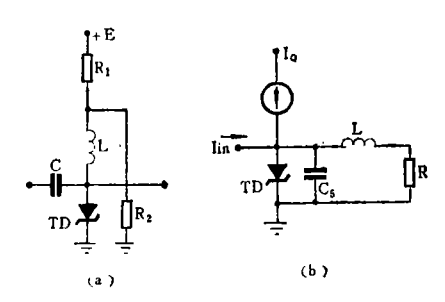


图 9 a. 隧道二极管电路 b. 等效电路

$$C_{s} = \frac{dV_{D}}{dt} = (I_{Q} + I_{i_{D}}) - I_{D} = I_{c}$$
 (2-6)

假如输入电流 I<sub>i</sub>。是阶跃电流,则上式右端的 I<sub>。</sub>将不随时间变化, 隧道管 跳 变 前 沿 为。

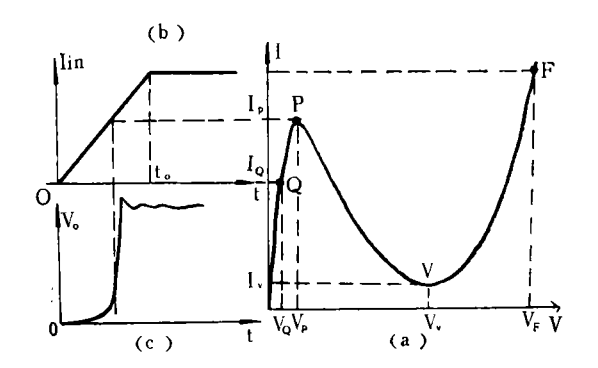


图10 a.隧道管的 V — I 曲线 b. I<sub>in</sub> 波形 c. V<sub>o</sub> 波形

$$t_r = C_s \int_{v_P}^{v_F} \frac{dV_D}{I_O + I_{in} - I_D}$$
 (2-7)

由上式可定性看出, $C_n$  越小, $I_0+I_{in}$  越大,则  $t_n$  越快,跳变幅度越小, $t_n$  越快。实际  $I_{in}$  是随时间变化的, $I_D$  的表达式 也 很 复杂,有时用分段直线去处理,对于锗管, $I_D$  可以写成:

$$I_{D} = I_{p} \left( \frac{V}{V_{p}} e \times e^{-V/V_{p}} + 5 \times 10^{-10} e^{3V/V_{p}} \right)$$
(2-8)

求解其瞬态特性时,要联立式(2-6)、(2-8)用计算机求解,详细内容可参见资料[1]。由于管子的参量都随电压、电流变化,电路的分布参数又难以精确估计,所以计算结果往往与实测有较大出人。

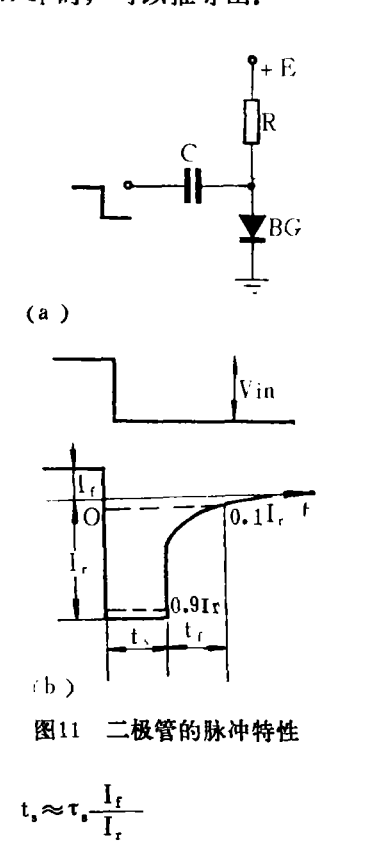
用隧道二极管作快速脉冲信号发生器,主要优点是线路简单,速度快。目前国外较好的隧道管脉冲源,前沿已达几+ps。美国国家标准局(NBS)就是用 t,≈20ps 的隧道管脉冲源作为各校准实验室之间传输时间的传递标准。缺点是输出幅度小,采用砷化镓隧道管也只能达到 700~800mV,脉冲宽度较大时不易保证平顶。另外,由于它是二端器件,输出与输入间无有效的隔离,这不仅使杂散电容 C. 增加,而且输入信号还会传送到输出端,造成在脉冲基线和顶部出现振荡。有人采用了定向耦合

#### 器,使输出波形大大改善。

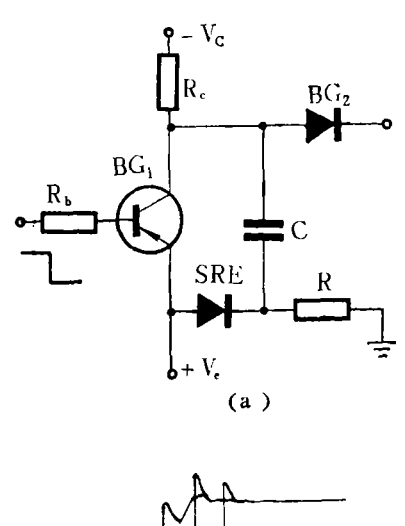
#### 6. 阶跃恢复二极管整形电路

大家都知道二极管具有单向导电性, 但是 在高速脉冲应用时,情况就复杂得多。二极管 PN 结两端是否有电流通过,除了 PN 结两端 接什么电位这个条件外,更重要的是看结两边 有无电流的携带者一载流子。我们看图11 a 电 路, 假定二极管是N型材料的, 那在无脉冲输 入二极管流过正向电 流 I, 时, 在靠近 PN 结 附近的 P型区就积累了大量少数 载流 子一电 子。输入负脉冲使 PN结反偏,在反向漂移电 场的作用下,这些载流子会形成反向电流 I., 直到它们消耗于净了,反向电流才下降到零。 输入负脉冲和二极管中电流的变化见图 11b。 记施加反向阶跃脉冲的时刻为 0, 1, 变化到其 最大值的90%时刻为存贮时间 t., 由最大值的 90%下降到10%这段时间称为下降时间 tr。在 开关二极管中,通常不再区分 t。和 tr, 而把 t,+t, 统称为二极管的反向恢复时间 t...。

在 I.≫I, 时, 可以推导出,



2CK 型高速开关二极管,其 t,, 可达 3~ ★ 5ns。 砷化镓超高速开关 二 极 管 2EK, 最快的 t,, 可达 30ps。我们最感兴趣的是一种叫做"阶跃恢复二极管"的特殊开关管,它的 τ. 很大,而且容许通过较大的电流, I, 和 I, 都可以在大范围内调节以得到合适的 t。 它最有用的性质在于 t, 极小,在阶跃恢复二极管 中 称 t, 为"阶跃时间",最快的管子可达几十个 ps。我们正是利用这一性质把前沿较差的脉冲整形为前沿陡峭的脉冲的,这种电路就叫做"阶跃整形电路",图12(a)就是一个。



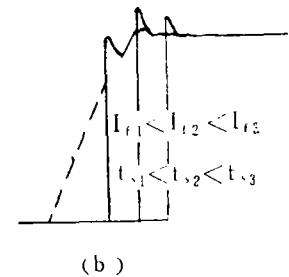


图12 a、阶跃整形电路 b.输出脉冲波形

图中 BG<sub>1</sub> 是饱和开关,SRD 是阶跃恢复 二极管,BG<sub>2</sub> 是输出隔离二极管。当图中的 C 不接入时,输出波形如12(b)中虚线所示。接 人 C 以后,集电极输出脉冲使阶跃管 SRD 由 正向导通变为反向导通,经过时间 t<sub>2</sub> 以后,SRD 中存贮电荷变为零,发生阶跃,SRD 突然截止,于是 BG<sub>1</sub> 集电极突然变到高电位。正向电流越大,t<sub>2</sub> 越长,图12 b 画出了对应三种不同正向电流时的阶跃波形。I<sub>4</sub> 太小,阶跃

(2-9)

会产生在输入脉冲的前沿上, $I_t$  太大,会使管子功耗太大, 一般调节得使 t , 稍大于被整形的脉冲的前沿即可。

当被整形的脉冲具有一定 前 沿 时,流 经 SRD 的反向电流具有图 13 所示的形状,这时 电荷控制方程变成:

$$-\frac{\mathrm{d}Q_s}{\mathrm{d}t} = \frac{Q_s}{\tau} + Kt \tag{2-10}$$

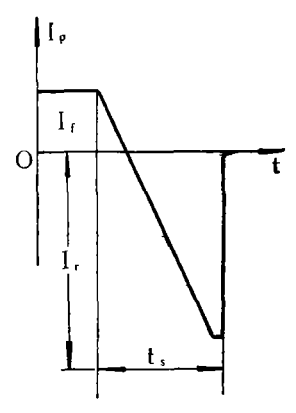


图13 阶跃管反向电流

由初始条件  $Q_s(0) = I_f \tau_s$ , 定解条件  $Q_s(t_s) = 0$  可解出:  $e^{-\frac{t_s}{\tau_s}} = \frac{K(\tau_s - t_s)}{K\tau_s - I_f}$  (2-11)

设最大反向电流为 I,, 利用 Kt,=I,, 可 解出 t.:

$$t_{s} \approx \tau_{s} \ln \frac{K\tau_{s} - I_{f}}{K\tau_{s} - I_{s}}$$
 (2-12)

在被整形的脉冲前沿较长时,必须采用容许通过较大 I<sub>t</sub> 的大功率 SRD 以得到较长的t<sub>s</sub>,这时,往往其阶跃时间也很长。有的 SRD 阶跃时间短,但存贮时间也短。为了解决这一矛盾,可以采用两级或多级整形电路(图14),

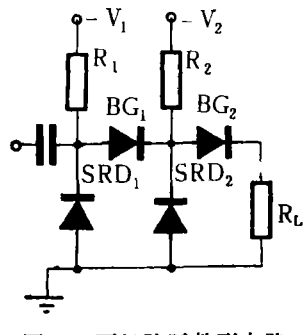


图14 两级阶跃整形电路

把存贮时间长的放在第一级,以后依次放存贮时间和阶跃时间短的。这类脉冲源 重 复 频 率 高,输出功率大,顶平,速度快,是一类性能优良的脉冲信号发生器。目前我国制造的这类脉冲源采用一级整形电路,采用集 中 参 数 补偿,其速度指标是: 在 50 Ω 负载上最大输出 10 V,前沿 ≤200ps,顶部振荡<20%。

## 三、波形的改善及有 关的工艺问题

#### 1. 高速脉冲波形的补偿问题

任何元器件和实际电路都具有分布参数。 电容器存在极板电感和引线电感, 碳膜电阻存 在着刻槽电感和引线电感、引线电容、半导体 器件存在着极间电容和引线电感。接线本身就 是个小电感,接线与地电位之间、各接线之间 都存在着分布电容。这些分布电感和电容构成 一个极其复杂的分布网络。由于电感的感抗为  $j\omega L$ , 电容的容抗为 $\frac{1}{j\omega C}$ , 在低频时它们的 影响还不大, 当频率增高时, 在信号通路上分 布电感的感抗就变大, 而分布电容的旁路作用 也越来越明显。根据频谱分析, 矩形脉冲中含 有极其丰富的高频分量, 当它通过上述分布参 数网络时, 总要失掉某些频率成分, 造成波形 失真。如果网络是多极点的,还会使阶跃脉冲 产生顶部振荡。我们先看一个最简单的情况, 假定有一阶跃脉冲(图15b)加到图15a所示 电路上, 如果  $C_s > \frac{L_{\sigma}}{4R^2} (3-1)$ , 则可以推导 出输出脉冲为:

$$V_{0}(t) = V_{M} - \frac{V_{M}}{L_{\sigma}C_{s}\omega_{0}} e^{-\alpha t} \sin(\omega_{n} + \phi)$$

$$(3-2)$$
式中: 
$$\alpha = \frac{1}{2RC_{s}}, \quad \omega_{n} = \sqrt{\frac{1}{L_{\sigma}C_{s}} - \alpha^{2}}$$

$$\sin\phi = \frac{\omega_{0}}{\alpha^{2} + \omega_{0}^{2}}, \quad \cos\phi = \frac{\alpha}{\alpha^{2} + \omega_{0}^{2}}$$

输出脉冲波形见图15 c。这个例子清楚地告诉我们,当满足一定条件时,输出脉冲顶部将出现一衰减振荡。仔细分析后得知,如果使 $\omega_0=0$ ,即:

$$C_{s} = \frac{L_{\sigma}}{4R^{2}} \tag{3-3}$$

则输出脉冲将变成:

$$V'_{0}(t) = V_{M}(1 - e^{-\frac{t}{2RC_{s}}} - \frac{t}{2RC_{s}}e^{-\frac{t}{2RC_{s}}})$$
(3-4)

#### 输出波形见图15d。

在电路的实际结构确定以 后,R, C。就完全确定了,要保证(3—3)式成立,可以人为地加进一个小电感 L。,使 L。+L。= $4R^2C$ 。,就使原电路由振荡状态变成阻尼状态了。实际上分布电感与分布电容形成的原因及排列情况极其复杂,它们所形成的网络不可能用图15 a

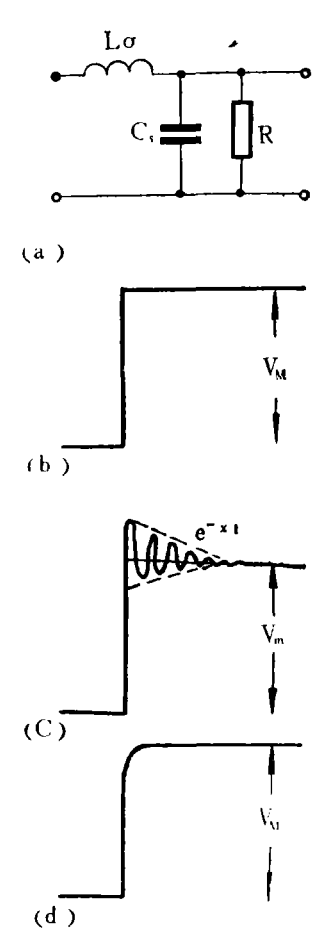


图15 顶部振荡的产生及消除

简单地表示,所以也不可能单独用附加电感 L。 来消除振荡,而必须用更为复杂的电路。图16 中虚线部分是一个实际的补偿网络,它在本质

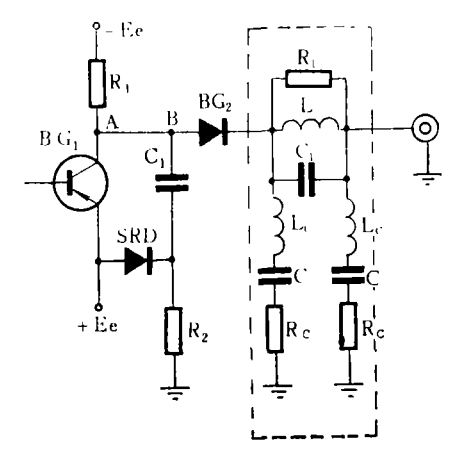


图16 实际补偿网络

上是一个带通滤波器, 把叠加在阶跃脉冲顶部 的高频振荡部分滤掉了。在此要特别强调一下 几个电阻 R.·R。的作用。我们知道,一个 LC 电路其Q值越高,就越容易产生振荡,而且一 旦振荡起来, 衰减也很慢。在补偿电路中, 电 容 C 本身也有引线电感和极板电感 Lc, 它们 自身组成一个串联振荡电路; 电感 L 本身也有 分布电容 C<sub>L</sub>, 它们组成一个并联振荡 电 路, L和C组合起来又会形成新的振荡电路,所以 当仅仅接入C或L来消除振荡时,振荡反而变 得更历害了。与电感 L 并联的 R<sub>L</sub> 和与电容 C 串联的 R。的作用,就是增加上述 LC 振荡电 路的阻尼, 使它们的 Q 值降低, 想振也振不起 来。这样,既滤掉了原有的振荡,又抑制了新 的振荡, 就可以获得最佳补偿。根据我们的经 验,在阻值为50~500Ω的非标准1/8W碳膜电 阻上绕0.30mm 的漆包线作 L, C采用6~ 30 P, R。采用50~200Ω, 采用图16 网络对于 附加在10V脉冲上高达20~40%的过冲(顶部 振荡的峰值), 其抑制效果非常明显, 经调整 到最佳状态时,过冲可降到10%以下,有些可 达5%,而且仍然满足 t,=2ns 的速度指标。

有时候由于管子的缺陷或其他电路安排上的原因,输出脉冲可能出现如图17 a 所示的缺角现象,这时可在图16 A、B之间接近一个小

电感,使它与分布电容形成一个阻尼振荡电路,借振荡的第一个波峰来补偿缺角。自然该电感也必须绕在一阻值为几百欧姆的电阻上,经与后面补偿网络的综合调整,可得如图17 b的波形。

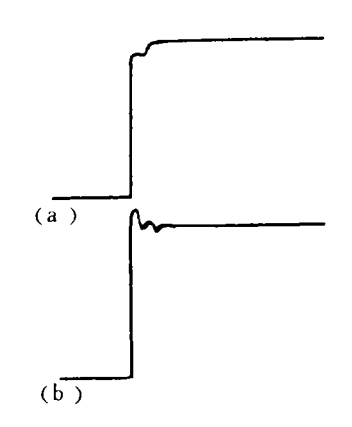


图17 缺角及补偿后的波型

必须指出,上述补偿网络都是一带通滤波器,各种补偿方法实际上是人为地压制成提高脉冲频谱中的某些成分,这虽然可以使脉冲变得更接近于方波,但或多或少总是增加了脉冲的前沿,所以必须尽量控制使用。如果要求脉冲前沿极快(比如100ps以下),为避免分布参数使前沿变坏以及在脉冲顶部产生振荡,最好采用同轴结构以保证良好的性能。

#### 2. 有关的工艺问题

一台高速脉冲发生器是否能获得预期的效果,关键在于工艺。电路向高速发展的结果,一是使电路设计与元器件设计统一起来,另外是使电路设计与工艺设计统一起来。在工艺中一般要考虑以下几个方面的问题。第一,各级"地"之间必须无分布电感存在,否则各级之间就产生寄生耦合,引起脉冲波形的失真。在高速电路中减小"地"分布电感的行之有效的方法是"大面积接地",即印刷电路板上除信

号线和电源线外,其他部分复铜板都留下作地线使用。第二,要特别注意高速信号的传播通路,各电路间的传送要用同轴电缆,信号在印刷电路板上应该走最近的距离,有时要采用微带结构,信号通过的电容器其杂散电感必须很小。第三,各同轴电缆终端必须匹配,绝不应用刻槽电阻作终端负载。脉冲源的同轴电缆始端按理应该接一个与其特性阻抗相等的电阻Ri(见图18),但这样一来,负载上得到的脉冲

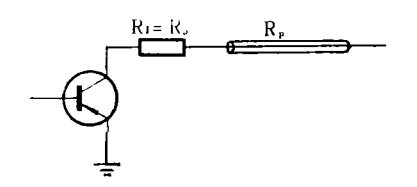


图18 同轴电缆始端匹配

幅度就会降低一半。为了提高幅度,在大部分 脉冲源中这一电阻是不用的,这样同轴电缆始 端就处在失配状态,如果电缆的终端也匹配得 不好, 反射波形传到始端后会发生更厉害的反 射,这样经多次反射以后,波形就会产生很大 的畸变。为避免这种情况,除尽量使电缆终端 作到阻抗匹配外,当脉冲源带有衰减器时,最 好安装在电缆始端。衰减器要采用同轴型,需 要将脉冲信号引到不同的电路中去时,要采用 T型转换器并注意各分路的阻抗匹配。当同轴 电缆的终端接了许多同轴元件和衰减器时,为 保证高速性能,制造者首先应该用第一部分中 谈的时域反射技术检查一下自己的传输系统匹 配情况如何,发现问题及时进行修改。最后, 为避免各级之间通过电源互相干扰,各级的电 源进线要进行 LC 滤波。滤波用的电容除一大 容量的低频电容外,还要并一小电容,最好也 用时域反射技术挑选分布电感小的使用。这些 问题不再一一叙述了。

### 参 考 资 料

- [1] A. Barna, "High-Speed Pulse Circuits"
- [2] J. A. Coekin, "High-Speed Pulse Techniques"
- [3] I. A. D 勒威斯, F. H. 威尔斯, "毫微秒脉冲技术", 第四章
- [4] E. 科瓦尔斯基"核电子学"第三、四章